

тером электронно-фононного взаимодействия и зависит от др. механизмов рассеяния фононов. Если фононная система полностью релаксирует на электронах (эффект «насыщения»), то при  $T \ll \theta_D$  ( $\theta_D$  — Дебая температура)  $S_F \sim T^{-1}$ .  $S_F \sim T^3$  как для металлов, так и для полупроводников. Если же фононы взаимодействуют не только с электронами, но и друг с другом, зависимость  $S_F(T)$  иная. В металлах при  $T \gg \theta_D$ . В полупроводниках электроны взаимодействуют только с длинноволновыми фононами (см. *Рассеяние носителей заряда в полупроводниках*), а  $S_F$  определяется их взаимодействием с коротковолновыми фононами, к-рым длинноволновые фононы передают свой импульс:

$$S_F \sim T^{-(9-n)/2}, \quad n = 1, 2. \quad (7)$$

Два значения  $n$  соответствуют двум механизмам фоно-фононой релаксации, в к-рых либо учитывается ( $n=1$ ), либо не учитывается ( $n=2$ ) затухание тепловых фононов. При низких темп-рах гл. роль играют процессы рассеяния на границах образца:  $S_F \sim DT^{3/2}$ , где  $D$  — характерный размер образца.

В магнетиках существует эффект «увлечения» электронов магнитами, к-рый также вносит вклад в термоэдс (см. *Спиновые волны*).

Для металлов с многогранной *ферми-поверхностью* и полупроводников с многозонным характером проводимости выражения для диффузионной термоэдс и термоэдс увлечения обобщаются:

$$S = \sum_i \sigma_i S_i / \sum_i \sigma_i. \quad (8)$$

Здесь  $\sigma_i$  и  $S_i$  — парциальные вклады в проводимость и термоэдс  $i$ -го листа поверхности Ферми или  $i$ -й энергетич. зоны.

**З. э. в сверхпроводниках.** Под действием градиента темп-ры в сверхпроводниках появляется объёмный ток нормальных возбуждений по природе такой же, как и в обычных проводниках. Этот ток обуславливает объёмный ток куперовских пар, к-рый компенсирует ток нормальных возбуждений. Т. к. полный объёмный ток равен 0, а электрич. поле в сверхпроводниках отсутствует, исследовать термоэдс, связанную с нормальными возбуждениями в сверхпроводниках, можно, измеряя сверхпроводящую компоненту тока.

Лит.: Пандау Л. Д., Лишин Е. М., Электродинамика сплошных сред, 2 изд., М., 1982; Цидильковский И. М., Термомагнитные явления в полупроводниках, М., 1960; Зырянов П. С., Клингер М. И., Квантовая теория явления электронного переноса в кристаллических полупроводниках, М., 1976; Термоэлектродвижущая сила металлов, пер. с англ., М., 1980; Абрекосов А. А., Основы теории металлов, М., 1987.

И. М. Цидильковский, В. А. Матвеев.

**ЗЕЕМАНА ЭФФЕКТ** — расщепление спектральных линий и уровней энергии атомов, молекул и кристаллов в магн. поле. Наблюдается на спектральных линиях испускания и поглощения; З. э. на линиях

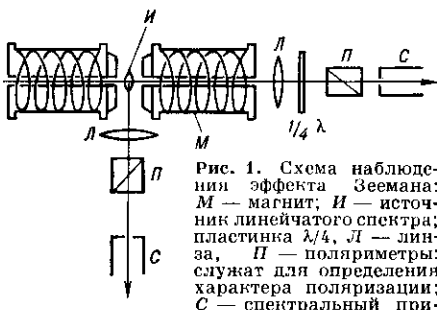


Рис. 1. Схема наблюдения эффекта Зеемана:  $M$  — магнит;  $I$  — источник линейчатого спектра; пластинка  $1/4 \lambda$ ;  $L$  — линза,  $P$  — поляриметры: служат для определения характера поляризации;  $C$  — спектральный прибор.

поглощения часто наз. обратны. Впервые обнаружен П. Зееманом (P. Zeeman) в 1896 при исследовании спектров испускания натрия. В 1897 Х. Лоренц (H. A. Lorentz) разработал первую теорию

З. э. на основе классич. электродинамики, полное объяснение З. э. даёт квантовая механика.

В результате З. э. спектральная линия, испускаемая веществом, в магн. поле расщепляется на неск. зеемановских компонент (зеемановское расщепление). Характер расщепления и поляризации компонент зависит от направления наблюдения. В случае т. н. простого (или нормального) З. э. при наблюдении в направлении, перпендикулярном магн. полю (рис. 1), получаются три линейно поляризованные компоненты — несмешённая  $\pi$ -компонент, поляризованная вдоль поля, и две симметрично от неё расположенные  $\sigma$ -компоненты, поляризованные перпендикулярно полю (зеемановский триплет;

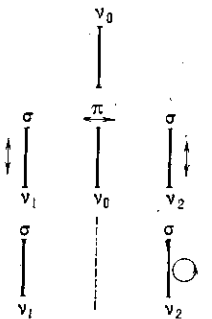


Рис. 2. Расщепление спектральных линий при простом эффекте Зеемана: вверху — без поля; в середине — при поперечном наблюдении в магнитном поле — триплет с частотами  $v_0 - \Delta v$ ,  $v_0$ ,  $v_0 + \Delta v$ , линии линейно поляризованы (направление указано стрелками); внизу — продольное наблюдение в магн. поле — дублет с частотами  $v_0 - \Delta v$  и  $v_0 + \Delta v$ , линии поляризованы по кругу в плоскости, перпендикулярной направлению поля.

рис. 2). При наблюдении вдоль поля получается дублет — две компоненты с круговой поляризацией, направленной в противоположные стороны. В общем случае сложного (или аномального) З. э. вместо каждой из компонент наблюдаются группы равностоящих линий, причём в целом картина расщепления остаётся симметричной относительно первоначальной несмешённой линии. Число линий сложного зеемановского расщепления может достигать неск. десятков.

При исследовании З. э. применяют спектральные приборы с высокой разрешающей способностью, т. к. величина расщепления мала: для магн. полей с напряжённостью  $H \sim 2 \cdot 10^4$  Э она составляет сотые нм.

Энергия атома, находящегося в магн. поле  $H$  и имеющего магн. момент  $\mu$ , равна:

$$\mathcal{E} = \mathcal{E}_0 - \mu_H H,$$

где  $\mathcal{E}_0$  — энергия этого атома в отсутствие поля,  $\mu_H$  — проекция магн. момента атома на направление поля,  $-\mu_H H$  — дополнит. энергия, к-рую приобретает атом в магн. поле. Полный магн. момент атома связан с его механич. моментом  $M$ :

$$\mu = -g(e/2m_e c) M,$$

где  $g$  — Ланде множитель,  $e$  и  $m_e$  — заряд и масса электрона. Проекция  $M_H$  на направление  $H$  квантована, т. е. может принимать лишь дискретные значения  $M_H = m\hbar/2\pi$ , где  $m = \pm J$ ,  $J = 1, \dots, -J$ , а  $J$  — квантовое число, определяющее полный механич. момент атома. При данном  $J$  возможны  $2J+1$  различных значений  $m$ . В результате энергия атома в магн. поле равна:

$$\mathcal{E} = \mathcal{E}_0 + g m \mu_B H;$$

величина  $\mu_B = e^2/2m_e c$  наз. магнетоном Бора. Т. о., уровень энергии атома с данным  $J$  в магн. поле расщепляется на  $2J+1$  компонент, отстоящих друг от друга на расстоянии  $g\mu_B H$ . Расщепление спектральных линий определяется расщеплением комбинирующих уровней энергии в магн. поле и отбора правилом для магн. квантового числа  $m$ :  $\Delta m = 0, \pm 1$ , причём при квантовых переходах, соответствующих  $\Delta m = 0$ , получаются  $\pi$ -компоненты, а при  $\Delta m = \pm 1$  —  $\sigma$ -компоненты (рис. 3).